

## 太陽 热 集熱機을 利用한 쌀의 乾燥에 關한 研究

張 奎 敏 · 金 滿 秀 · 金 東 萬

忠南 大學校, 農科 大學

(1979년 8월 10일 수리)

## Drying of Rough Rice by Solar Collectors

Kyu Seob Chang, Man Soo Kim and Dong Man Kim

College of Agriculture, Chungnam National University

(Received August 10, 1979)

### Abstract

The flat-plate and tubular solar collectors were designed and constructed for drying the rough rice, and the performance of the collectors and drying effect were investigated when rough rice was packed in grain bin connected to collectors. Average-monthly radiation on a horizontal surface based on bright sunshine in Daejeon area during 1978 was the highest as 16,814 KJ/m<sup>2</sup>·day in May and the lowest as 4,254 KJ/m<sup>2</sup>·day in December, and significance was not recognized between the calculated and recorded values. The thermal efficiency of collectors were increased as radiation increased during drying period and the average thermal efficiency of flat-plate and tubular collectors in 11 to 12 o'clock a.m. were 28.12 and 16.75 %, respectively. The average inlet temperature of grain bin at 12 o'clock was shown as 20.02 at control, 40.5 at grain bin connected to tubular collector and 55.1°C at grain bin connected to flat-plate collector. In 25 cm rough rice depth in grain bin, time taken for drying from initial moisture content at 27.4 to decrease upto 17.0 % (14.5 % on wet basis) were 32 in control, 18 in grain bin connected to tubular collector and 11 hrs to flat-plate collector, and grain depth influenced drying rate remarkably. In the view point of drying characteristics, drying pattern showed initially falling-rate to constant-rate period finally.

### 序 論

陽 에너지는 氣象 및 地理的 與件等에 크게 左右되며  
密度가 1 Kw/m<sup>2</sup> 程度로 낮아서 利用上의 어려운 點을  
內包하고 있다.

限定된 化石 에너지源의 地域的 偏在로 因한 에너지  
危機 意識은 날이 갈수록 더욱 深刻한 問題로 擡頭되고  
있어 에너지 源의 節約과 代替 方案에 關한 研究가 全  
世界의 主要 課題로 登場하게 되었다. 太陽은 地球上에  
年間  $17.6 \times 10^{20}$  Kcal<sup>(1)</sup>에 達하는 莫大한 量을 供給하고  
있어서 賦存 資源이 不足한 우리나라의 與件으로는 太  
陽 에너지 活用 分野의 研究가 切實하다고 보겠으나 太

太陽 에너지를 利用한 農產物 乾燥에는 두 가지 類型이  
있는데 하나는 乾燥 하고 저 하는 物質을 直接 露出시  
키는 方法과 太陽 热로 热風을 만들어 乾燥하는 方法等  
<sup>(1~4)</sup>이 있는데 後者の 境遇 被乾物이 直接 太陽 热을  
받지 않으므로 고르고 또한 빨리 乾燥된다는 長點이  
있어 많이 利用되고 있으며, 热風을 利用한 乾燥 方法  
을 다시 大別하면 high-temperature, high speed

\* 本 研究는 1978年度 產學 協同 財團 學術 研究費에 依하여 遂行된 것임.

drying system과 low-temperature, in-storage drying system<sup>(5,6)</sup>이 있는데 Lipper<sup>(7)</sup>等은後者の境遇가經濟的으로나被乾物의品質面에서 바람직한方法이라고報告하였다.

農作物을播種하여收穫後乾燥에 이르기까지 쓰이는農用燃料의消耗를分析한結果<sup>(8)</sup>에依하면乾燥에使用되는量이總燃料消耗의 60~70%에達하며特히熱風乾燥에利用되는燃料의 90~95%가石油等化石燃料를使用하고 있으므로太陽熱을利用한乾燥方法은에너지節約이라는次元에서必要하다고보겠다.

Low-temperature, in-storage drying system에利用되는grain bin은貯藏管理 및乾燥를效率的으로同時에遂行할 수 있는長點이 있어 이미外國에서는널리利用되고 있으며<sup>(1)</sup>, grain bin에附着하는太陽熱集熱機에는平板型集熱機, 튜브型集熱機가 있다.平板型集熱機는유리덮개 밑에熱傳導度가 높은알루미늄과 같은金屬板을無光澤黑色ペイン트로塗裝하여集熱板으로하고吸收된熱은 밀바닥에흐르는熱傳達媒體인空氣와熱交換이일어나게되며이때의熱風이fan에 의해grain bin에流入 되도록하는데集熱板의吸收率은90%以上되어야한다고報告하였으며<sup>(4,5,9,10)</sup>, 튜브型集熱機는透明塑料필름을튜브형으로結合한 속에吸熱體로黑色塑料튜브를넣어集熱도록한것인데入口에서fan으로送風함으로서加熱空氣가grain bin 속으로 들어가면서塑料필름튜브를부풀게한것으로東西方向으로設置하는것이南北方向으로한것보다太陽의入射角이작아더높은溫度의熱風을얻을수있다고하였다<sup>(9)</sup>.

이와같은集熱機를grain bin에附着하여 콩과 옥수수를乾燥한Peterson<sup>(11,12)</sup>의報告에따르면, 옥수수의境遇水分含量이13.2%되기까지20日이걸린反面에常溫通風乾燥는같은期間동안에14.4%였으며, Bauman<sup>(13)</sup>은穀物1ton乾燥에所要되는集熱機面積은0.35~2.65m<sup>2</sup>가合理的이라고하였다.

따라서本試驗에서는그構造가簡單하고製作費가低廉한平板型과튜브型集熱機를製作, grain bin에附着하여穀物乾燥에活用할 때의基本資料와벼를grain bin에넣어乾燥할 때의效果를研究檢討하여몇가지結果를얻었기에報告하는바이다

## 材料 및 方法

### 實驗材料

忠南大學農科大學試驗園場에서栽培한벼品种密陽15號를1978年10月6日收穫하여14日間논

에서天日乾燥한後脫穀하여水分含量21.5%(乾物中27.4%)인벼를乾燥用試料로使用하였다.

### 實驗裝置

#### 가. 平板集熱機(Flat-plate collector)

本實驗에서使用한太陽熱平板集熱機는Fig. 1과같이1.8×0.8×0.16m크기로製作하였으며外裝製는두께1.5mm의스텐레스鐵板으로하였고여기에黑色ペイン트로塗裝하였다.吸熱板은두께0.6mm의알루미늄板으로單位面積當의表面積을높이기위하여골의間隔을5.2cm되게주름을잡았고表面에는無光澤ペイン트로噴霧塗裝하였으며吸熱板이上下로移動할수있도록하였다.集熱機의熱損失을막기위해內部에는5cm두께의스티로폼을附着하였고덮개유리의두께는3mm로光透過度가91%인것으로씌웠으며가장자리에서물이內部로스며들지못하도록防水패킹을하였다.集熱機의傾斜角과方向을調整할수있도록上下左右로移動시킬수있는레버를裝置하였고1/6馬力의모터와連結된送風機를集熱機의出口쪽에附着하여左側入口에서들어온空氣가吸熱板의上下로되어있는流路를通過하는동안에加熱되어grain bin내로보내도록하였다.流量의調節은集熱機의出入口에附着된開閉門에依하였고流速의測定은Orifice계측기로 행하였으며流量은0.3m<sup>3</sup>/min가維持되도록하였다.送風機로들어가는空氣의濕氣를除去하기위

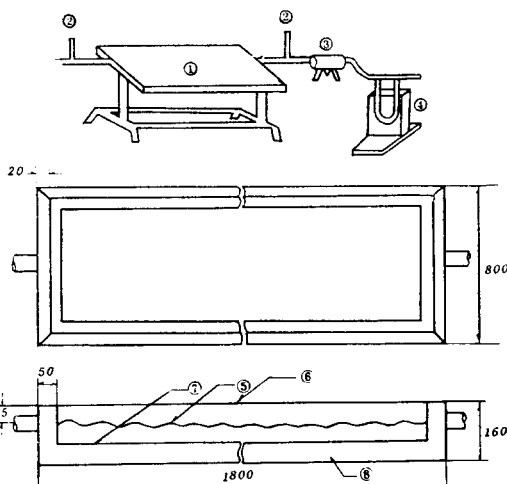


Fig. 1. Schematic and detail diagram of flat-plate collector

- |  |                               |
|--|-------------------------------|
| 1. Solar collector                       | 2. Thermocouple               |
| 3. Fan                                   | 4. Orifice meter              |
| 5. Corrugated Al. plate with black paint |                               |
| 6. Glass (t : 3)                         | 7. Al. plate with black paint |
| 8. Foam polystyrene                      |                               |

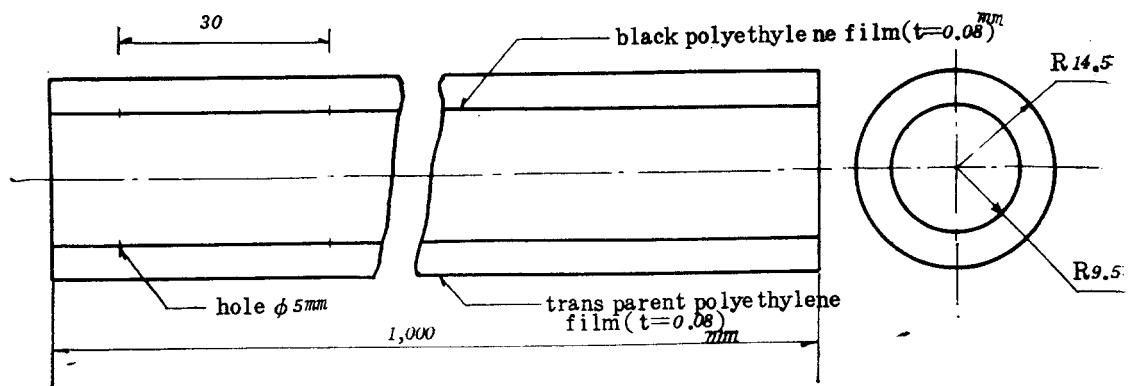


Fig. 2. Details of tubular collector with polyethylene film

Table. 1. Specification of the solar collectors being used and its material

Items	Collectors	Solar air collector	Solar tubular collector
Size(m)		$L_{1.80} \times W_{0.80} \times H_{0.16}$	$\phi_{0.16} \times L_{10.00}$
Net absorbing area ( $m^2$ )		1.17	1.90
Tilted angle and direction		46°	east to west
Flow rate( $m^3/hr$ )		1.8	1.8
Material	Absorbing surface	Black-painted corrugated aluminum plate	Black color tubular polyethylene film
	Insulation	Polystyrene foam with thickness of 0.05m	none

해 直徑 18 cm, 높이 51 cm 크기의 除濕筒을 만들었고  
內部에는 直徑 15 cm, 높이 50 cm의 鐵網에 silica gel

을 채워서 外部의 空氣를 除濕筒의 silica gel 層을 通過시켜 濕氣가 除去된 後 集熱機로 流入되도록 하였다

#### 나. 투브型 集熱機(Tubular collector)

Fig. 2와 같이 0.08 mm 두께의 폴리에틸렌 필름을 반경 14.5 cm되게 接合 하였고 그안에 黑色 폴리에틸렌 필름을 반경 9.5 cm되게 만들어 넣었으며 集熱 필름 내의 熱風을 바깥쪽으로 循還시키기 為하여 30 cm間接으로 直徑 5 mm의 구멍을 뚫었다. 入口 쪽에는 1/6馬力 送風 fan을 附着하여 流量이  $0.3 m^3/min$ 가 維持되도록 送風量을 調節 하였으며 測定은 Orifice 계측기를 使用하였다.

以上 두가지 集熱機의 製作은 Whillier<sup>(14,15)</sup>等의 研究結果를 參考 하였으며 製作에 使用된 材料는 Table 1과 같다.

本 實驗에서 使用된 두가지 形態의 集熱機와 grain bin과의 連結 方法, 對比區 및 溫度 測定點 等의 位置

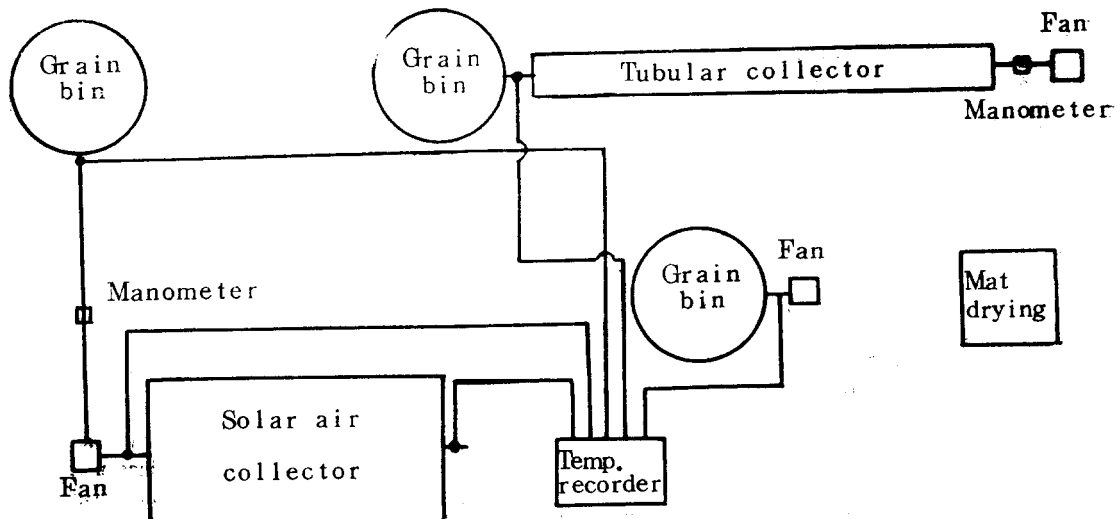


Fig. 3. Arrangement of the experimental apparatuses and measuring systems

를 綜合하여 表示하면 Fig. 3과 같다.

### 實驗 方法

#### 가. 溫度 測定

集熱機의 入口 및 出口, grain bin의 入口, grain bin內의 穀物 두께에 따른 中心部의 溫度는 copper-constantan thermocouple을 裝置하여 mV-recorder로 測定하였다.

#### 나. 月平均 水平面 日射量

地表上の 日射量은 구름에 依한 影響이 가장 크기 때문에 水平面 日射量을 日照 時數에 依해 求하려는 試圖가 오래 前부터 研究되어 왔으며 最近에는 Löf<sup>(10)</sup>, Duffie<sup>(11)</sup> 等에 依하여 修正된 式을一般的으로 活用하는 데 다음과 같이 表示된다.

$$Hav = Ho \left( a + b \frac{n}{N} \right)$$

여기서

$Hav$  : average horizontal radiation for the period

$Ho$  : average radiation outside of the atmosphere for the some location

$n$  : average daily hours of bright sunshine

$N$  : maximum daily hours of bright sunshine

$a, b$  : constants

#### 다. 集熱機의 效率

集熱機의 效率은 Whillier<sup>(14,15)</sup> 等이 energy balance에 근간을 두어 發展한 式을 使用하였으며 다음과 같다.

$$\text{平板 集熱機} : Nc = \frac{qu}{AHR}, \quad qu = WCp \Delta t$$

$$\text{튜브型 集熱機} : Nt = \frac{qu}{AH}$$

여기서

$Nc$  : flat-plate collector efficiency, %

$Nt$  : tubular collector efficiency, %

$qu$  : energy utilized to heat air, KJ/hr

$H$  : radiation received on a horizontal surface, KJ/hr.m<sup>2</sup>

$R$  : geometric factor converting horizontal readings to readings tilted surface

$W$  : air mass velocity, kg/hr

$Cp$  : specific heat of the air at constant pressure, KJ/kg.°C

$\Delta t$  : temp. rise of the air in the collector, °C

$A$  : effective collector area, m<sup>2</sup>

### 結果 및 考察

#### 月平均 水平面 日射量

Löf<sup>(10,16)</sup> 等이 定立한 式을 適用하여 月平均 水平面 日射量을 算出할 때, 常數인  $a, b$ 의 値을 氣候 條件이나 植物 分布에 따라 分類하였으나 우리나라에서는 이들 値을 直接 適用하기는 不合理하다고 認定하여 大田 地方의 지난 五年間의 記錄值을 가지고 常數  $a, b$ 를 求한 結果,  $Hav = \left( 1.546 \frac{n}{N} - 0.582 \right) Ho$ 와 같은 式을 얻을 수 있었으며<sup>(17)</sup> 이式에 依한 計算值와 實際 記錄值를 比較한 結果는 Table 2와 같다.

表에서 나타난 바와 같이 1978年度 大田 地方의 月平均 水平面 日射量이 가장 높은 달은 5月로서 記錄值은 16,814 KJ/m<sup>2</sup>.day였고 가장 낮은 달은 12月로서 4,254 KJ/m<sup>2</sup>.day로 나타났으며 秋穀 乾燥 期間인 10月은 7,549 KJ/m<sup>2</sup>.day이었으며 金等<sup>(18)</sup>의 報告에 依하

Table. 2. Average daily total radiation calculated based on the average and the maximum hours of bright sunshine, and recorded values on the horizontal surface for Daejeon (1978)

Month	$Ho$ (KJ/m <sup>2</sup> , day)	$n$ (hr.)	$N$ (hr)	$n/N$	$Hav$ (KJ/m <sup>2</sup> .day)	$H$ (recorded) (KJ/m <sup>2</sup> .day)
Jan.	17,053	4.20	8.20	0.512	3,573	4,815
Feb.	22,171	5.37	7.70	0.697	10,987	10,199
Mar.	28,558	6.99	10.10	0.692	13,935	13,155
Apr.	35,186	8.33	12.10	0.688	16,947	16,689
May	39,517	8.51	13.00	0.655	17,017	16,814
Jun.	41,269	7.25	13.20	0.549	11,009	10,768
Jul.	40,418	7.13	12.90	0.553	11,032	10,789
Aug.	36,952	6.87	12.20	0.563	10,657	10,496
Sep.	31,030	6.13	10.80	0.568	9,189	8,441
Oct.	24,216	5.91	10.30	0.574	7,396	7,549
Nov.	18,283	4.85	8.80	0.551	4,934	4,635
Dec.	15,730	4.94	9.20	0.537	3,904	4,254

면 賀物 乾燥와 關連된 韓國의 氣象 條件은 10月中 3日 程度를 乾燥 不可能日로 나타났으며, 따라서 우리나라 中部 地方의 氣象 條件은 太陽 热을 利用한 热風 乾燥의 可能性이 높다고 할 수 있겠다.

또한 月平均 水平面 日射量의 計算值와 記錄 値間의 差에 對하여 ±檢定을 實施한 結果, 어느 水準에서도 그들間의 有意性이 認定되지 않았으므로 이 式에 依한 日射量의 計算이나 猜測을 할 수 있을 것으로 본다.

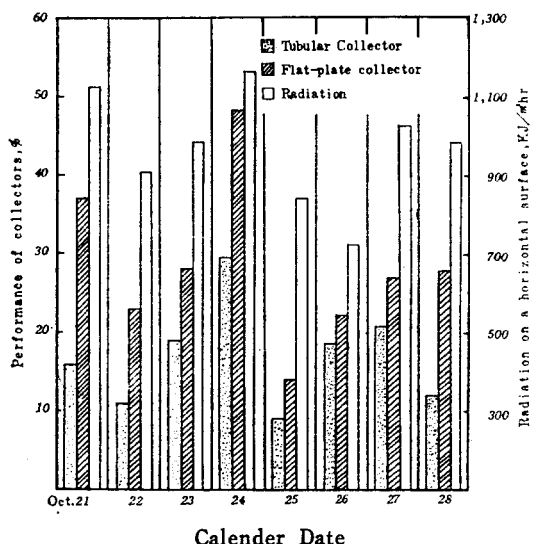


Fig. 4. Performance of collectors being used and radiation on a horizontal surface during 10~11 o'clock daily

### 集熱機의 效率

集熱機의 效率 分析은 賀物 乾燥 期間인 10月 21日 부터 28日까지 8日間에 걸쳐 매일 10~11時사이와 14~15時 사이의 日射量을 測定하여 두 集機熱의 效率을 算出 하였다.

Fig. 4와 5에서 나타난 바와 같이 測定 時間의 日射量에 따라 效率도 달리 나타났으며 日射量이 클수록 效率도 높은 傾向을 나타냈고一般的으로 平板 集熱機가 투브型 集熱機보다 效率이 5~20% 높았다.

더 具體的으로 살펴보면 乾燥 期間동안 11~12時 사이의 平板 集熱機의 平均 效率은 28.12%로서 투브型의 16.75 보다 11.37% 높았으며 이에의 平均 日射量은 980 KJ/m²·hr이었다. 한편 同一 期間 동안의 14~15時 사이의 平均 日射量은 860 KJ/m²·hr로써 오전 보다 120 KJ/m²·hr 낮았으며 效率도 이와 類似한 傾向을 나타내어 平板 集熱機에서는 2.87가, 투브型 集熱機에서는 1.2%程度가 낮아 Gupta<sup>(10)</sup>等의 結果와 비슷하였다. 上의 結果에서 나타난 바와 같이一般的으로 乾燥 期間 동안의 效率은 平板 集熱機가 투브型 集熱機보다若干 높았으며 日射量이 클수록 效率도 높았다.

### 賀物 乾燥

가. 乾燥 期間中 外氣, 集熱機 및 grain bin內의 溫濕度 變化

乾燥 期間 동안 大田 地方의 12時를 基準으로 하는 外氣 溫濕度, 集熱機의 入出 溫度, 集熱機와 連結된 grain bin內에 賀物의 두께에 따른 溫度 變化等을 調査한 結果는 Table 3에서 보는 바와 같다.

即 平均 外氣 溫度는 20.02°C이고 平均 相對 濕度는 45.65%로써 農產物 乾燥에 比較的 좋은 條件이 있으며 集熱機의 出口 溫度는 平板 集熱機의 境遇 平均 55.1°C로서 平均 外氣 溫度보다 25.08°C나 높게 나타났으며 外氣 溫度와 集熱機를 通過한 空氣의 溫度와의 差異는 23~30°C 程度였다.

Grain bin內의 層別 溫度를 보면 賀物 두께가 25 cm 인 層은 平均 溫度가 34.65°C, 50 cm인 層은 29.88°C, 75 cm 層은 27.28°C로 위로 올라 갈수록 溫度는 낮아졌으며 투브型 集熱機에서는 出口 溫度가 40.5°C로 平板 集熱機보다 15°C 낮았으나 對比區보다는 20°C 程度 높게 나타나 平板 集熱機에는 뜻미치드라도 常溫 通風 乾燥 보다는 輝선 效果가 있음을 나타냈으며, 이와 같은 傾向은 Morrison<sup>(20)</sup>의 研究와 一致하였고 層別 溫度에서는 平板 集熱機의 grain bin內 層別 溫度와 類似하게 上層으로 갈수록 낮아졌으나 對比區의 境遇 反對로 上昇되는 理由는 grain bin 表面에서 輻射熱을 받기 때문에 常溫 보다 높아지는 傾向을 나타낸 것으로 본다.

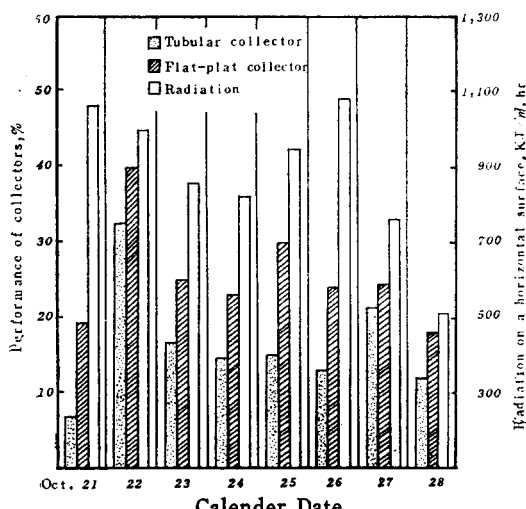


Fig. 5. Performance of collectors being used and radiation on a horizontal surface during 14~15 o'clock daily

Table 3. Temperature and relative humidity of atmosphere, collectors and grain bin at 12 o'clock during drying period\*

Date	Atmosphere		Flat-plate				Tubular				Control			
	Temp. (°C)	R.H. (%)	1	2	3	4	1	2	3	4	1	2	3	4
Oct. 21	18.5	36.3	61.6	39.6	35.2	31.4	39.5	29.7	26.9	24.0	18.5	20.5	20.5	20.7
22	18.1	38.7	46.5	28.6	25.4	23.9	36.5	29.5	27.6	26.4	18.1	18.6	19.7	19.4
23	20.7	42.5	59.2	33.2	30.3	28.2	40.2	35.1	32.3	28.8	20.7	21.2	21.5	20.6
24	21.8	54.4	46.5	29.5	21.0	20.9	33.7	31.4	29.3	26.7	21.8	22.8	21.5	21.9
25	22.4	49.8	65.5	41.3	35.7	31.6	45.8	41.1	24.5	23.2	22.4	25.5	23.7	22.1
26	23.6	46.3	63.8	42.4	34.2	31.3	46.5	42.6	38.1	36.4	23.6	23.3	22.4	22.3
27	16.7	50.4	43.5	28.4	26.9	23.5	37.5	34.0	30.4	25.9	16.7	18.0	19.5	19.3
28	18.4	46.8	54.7	34.2	30.3	27.5	44.5	42.5	37.6	36.7	18.4	20.1	21.2	23.8
Average	20.02	45.65	55.1	34.65	29.88	27.28	40.5	35.73	30.83	28.5	20.02	21	21.25	21.26

\* 1. Outlet temp. of collector (°C)

2. Temp. of bottom layer in grain bin (25 cm grain depth)

3. Temp. of middle layer in grain bin (50 cm grain depth)

4. Temp. of top layer in grain bin (75 cm grain depth)

#### 나. 乾燥 試驗

水分含量 21.5% (乾物中 27.4%) 인 벼를 3개의 grain bin에 각각 210 Kg씩 넣고 그중 하나는平板集熱機에, 다른 하나는 투브型集熱機에連結하였으며, 나머지 하나는集熱機에連結하지 않은對比區로하여比較實驗을遂行하였다. 1日間集熱機의 運用時間은 8時間으로 하였다.

一般的으로 初期水分含量, 推積 두께, 热風溫度는

乾燥時間과 水分含量과의關係에依한乾燥速度曲線으로表示하는 데, 平板集熱에依한加熱된空氣를 grain bin에送風하였을 때의 벼의乾燥速度曲線은 Fig. 6과 같다.

初期水分含量을 27.4%로하였을 때推積層의 두께에 따른乾燥速度는相當한差異를 나타냈는데 賀物水分含量을 17.0% (生體中 14.5%)까지떨어뜨리는 데는 25 cm 賀物層에서는 11時間, 50 cm 賀物層에서는 22

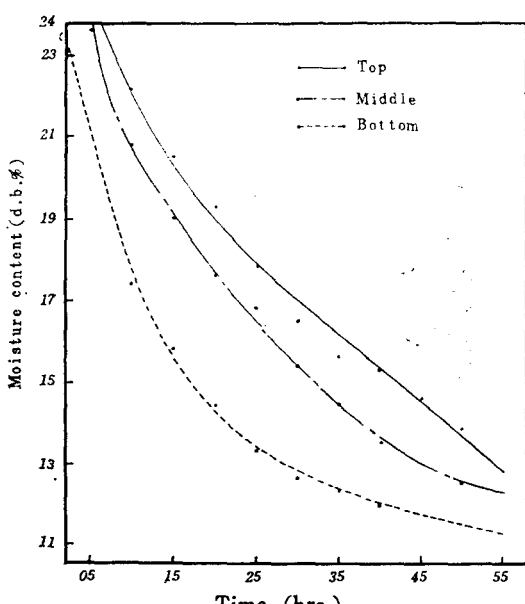


Fig. 6. Drying curves of different layers in grain bin connected to the flat-plate collector

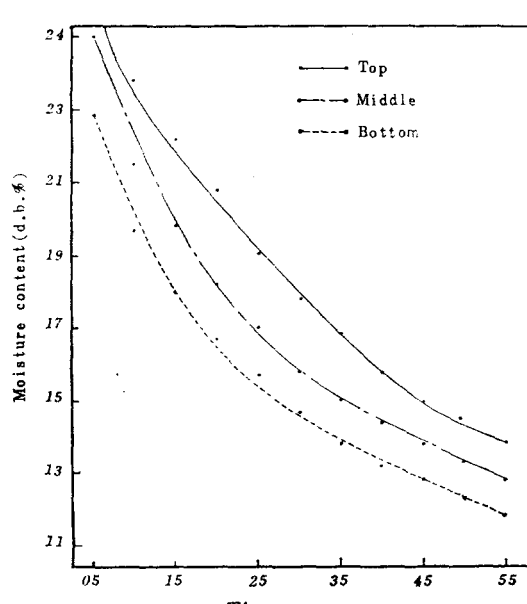


Fig. 7. Drying curves of different layers in grain bin connected to the tubular collector

時間, 75 cm層에서는 29時間이 所要 되었으며 이와 같은結果로 보아 可能한 한 均一한 乾燥를 實施하기 為하여 推積 두께에 깊은 關心을 가져야 할 것으로 본다.

튜브型 集熱機를 利用한 grain bin內 乾燥에서도 앞에서와 유사한 傾向이었는데 (Fig. 7) 最下層의 谷物水分含量이 17 %에 到達할 때까지 18時間, 上層이 35

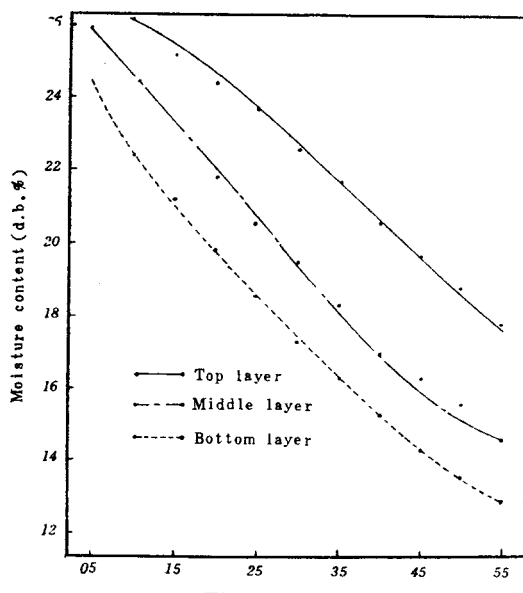


Fig. 8. Drying curves of different layers in grain bin (control)

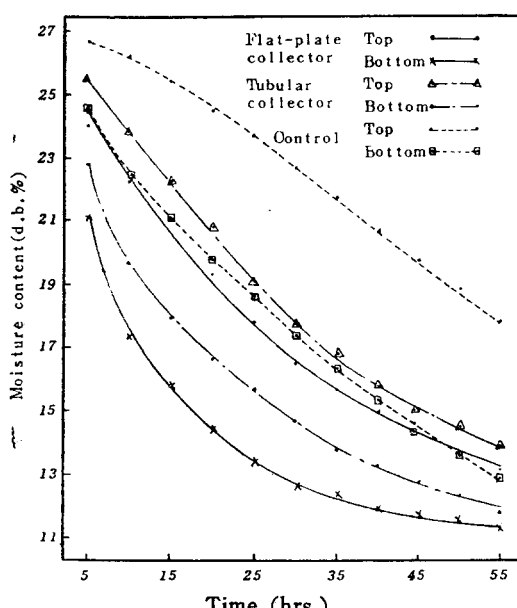


Fig. 9. Drying curves of different layers of rough rice in grain bin connected to collectors

時間 걸렸으며 이는 平板 集熱機에서 보다 5~6時間 더 所要 되었는데 이와 같은結果는 平板 集熱機의 出口 溫度가 더 높았기 때문인 것으로 分析된다.

集熱機를 附着하지 않은 常溫 通風 乾燥의 對比區와 比較하여 보면 (Fig. 8) 上記 두 集熱機를 使用하였을 때 乾燥 速度에서 커다란 差異를 나타내고 있는데 特히 上層의 境遇는 17 %까지 到達하는데 60時間이 걸렸으며 이는 Robertson<sup>(21)</sup>이 平板 集熱機를 利用하여 캐비넷 乾燥機에서 谷物을 乾燥할 때의 結果와 一致함을 보여 주고 있다.

以上의 結果를 比較하기 為하여 平板 集熱機, 튜브型 集熱機 및 對比區의 grain bin에서 下層 및 上層만의 乾燥 速度를 表示하면 Fig. 9와 같다.

이러한 結果를 더 明確히 觀察하고자 Fig. 9의 乾燥 曲線을 圖上 微分(graphical differentiation)하여 各 條件別 水分含量 減少率( $dM/dt$ )를 求하였다 (Fig. 10)時間別 水分含量 減少는 平板 集熱機, 튜브型 集熱機, 對比區 供給 約 10時間까지 急速히 減少되었다가 완만하게 되었는데 初期에서는 恒率 乾燥期를 거치지 않고 바로 減率 乾燥期로 들어갔고 時間에 따른 乾燥率의 傾向은 비슷하였다.

集熱機別, 推積 두께別 特徵은 乾燥 速度와 水分含量을 對比하여 보다 明確히 究明할 수 있는데 一般的으로 乾燥 速度는 水分含量에 따라 다르므로 乾燥 現象

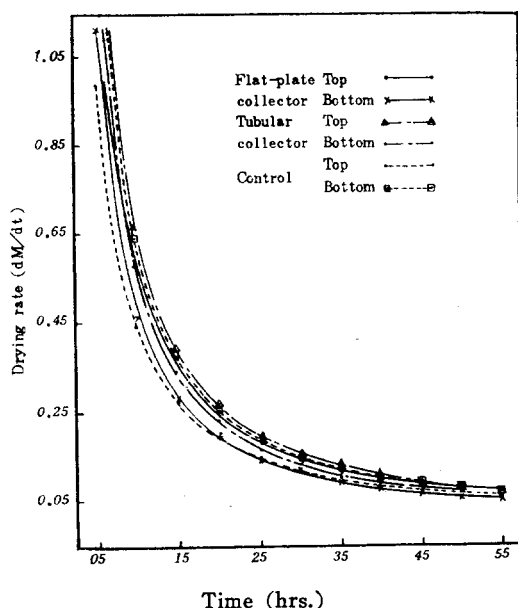


Fig. 10. Drying rates curves of different layers of rough rice in grain bin connected to collectors

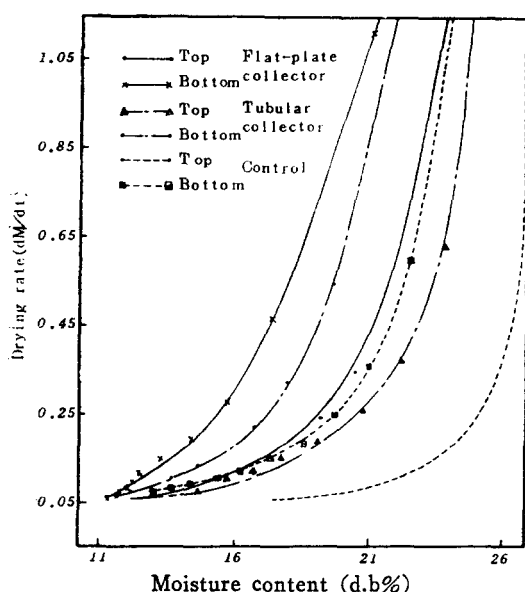


Fig. 11. Drying rates vs moisture content of different layers of rough rice in grain bin connected to collectors

究明時는 순간乾燥速度가 더 큰意義를 갖게되어 Fig. 9를水分含量에 따른乾燥曲線으로表示하였다(Fig. 11).

여기서 나타난 바와 같이水分含量이 높아짐에 따라乾燥率도當然히 높았으며 17%水分含量에 到達할 때의乾燥率을比較하여 보면平板集熱機를 使用한 grain bin下層이 가장 높았고 다음이 투브型集熱機를 使用한 grain bin의 下層, 平板集熱機를 利用한 것의 上層 순서였으며, 平板集熱機를 利用한 것의 下層乾燥率은常溫通風乾燥의 上層과比較하여 거의 2倍의 差異를 나타냈다.

이러한結果는常溫通風乾燥를 할 때 grain bin內의推積두께에 따른 pea bean의乾燥率曲線에서도 같은傾向이었다.

以上의結果를綜合해 보면太陽熱集熱機裝置를利用함으로써被乾物의質에損傷없이天日乾燥 때보다乾燥期間을短縮할 수 있고熱風乾燥時에消耗되는燃料를節約할 수 있으며常溫通風乾燥보다乾燥率을높일 수 있다. 이때 耕物의推積두께에 따라乾燥速度의差異가나므로 grain bin에서乾燥와貯藏을同時에遂行할 때에 適定水分含量까지내리는 데所要되는期間을推積두께에 따라算出할 수 있다.

## 要 約

耕物의天日乾燥와燃料를熱源으로하는熱風乾燥

의問題點을補完하기為한試圖로서構造가簡單하고製作費가低廉한平板集熱機와 투브型集熱機를設計製作하여活用에必要한基礎的인것을研究檢討하였으며, 實際耕物을 grain bin에 넣고集熱機을附着하였을 때乾燥效果를究明하였던바 그結果는 다음과 같다.

1. 1978年度大田地方의日照時數에依한水平面日射量은5月이 16,814 KJ/m<sup>2</sup>·day로 가장높았고 12月이 4,254 KJ/m<sup>2</sup>·day로 가장낮았으며記錄值와計算值에依한有意性은認定되지않았다.

2. 耕物乾燥期間(10月21일~28일)동안午前午後두차례에 걸쳐集熱機의效率을算出하였던바, 日射量이를수록效率도높았으며 11~12時사이의平板集熱機의平均效率은 28.12로서 투브型의 16.75보다 11.37%가높았다.

3. 乾燥期間中 12時를基準으로 한 grain bin入口의溫度는對比區가 20.02, 투브型集熱機에連結된grain bin이 40.5, 平板集熱機의 grain bin이 55.1°C로서큰差異를나타냈으며 grain bin內耕物推積두께에따른溫度變化에서平板集熱機와 투브型集熱機의 grain bin은耕物層이두께을수록낮았으나對比區는別差異가없었다.

4. 初期水分含量이 27.4%인耕物을 17.0%(生體中 14.5%)까지떨어뜨리는데 25cm耕物두께에서對比區가 32, 투브型의 grain bin이 18, 平板集熱機의 grain bin이 11시간이걸렸으며, 耕物推積두께는乾燥速度에커다란影響을미쳤고, 乾燥特性은初期減率乾燥期를걸쳐恒率乾燥期로되었다.

## References

- Duffie, J. A. and Beckman, W. A.: *Solar Energy Thermal Process*, Wiley-Interscience, New York (1974)
- Khan, E. U.: *Solar Energy*, 8, 17 (1964)
- Lawand, T. A.: *Solar Energy*, 10, 158 (1966)
- Phillips, A. L.: *Solar Energy*, 9, 213 (1965)
- Foster, G. H. and Peart, R. M.: USDA, Agricultural Research Agriculture Information Bull., 401 (1976)
- Meyer, G. E., Keener, H. M. and Roller, W. L.: Paper No. 75-3002, Am. Soc. Agr. Eng. St. Joseph, Mich. (1975)
- Lipper, R. I. and Davis, C. P.: *Agricultural Research*, 14, 8 (1960)

8. Isaacs, G. W. : *Energy for Agriculture Conference at Purdue Univ.* (1973)
9. Irvine, T. F. : *Solar Energy*, 2, 12 (1958)
10. Löf, G. O. G. and Tybout, R. A. : *ASME Paper 72-WA/Sol-8*, (1972)
11. Peterson, W. H. : *Transaction of the ASAE*, 19, 2 (1976)
12. Peterson, W. H. : *Solar Electric Crop Dryer, Progress Report. EMC 657*, South Dakota Univ., (1973)
13. Bauman, B. S., Finner, M. F. and Shove, G. C. : Paper No. 75-3514. *Am. Soc. Agr. Eng. St. Joseph, Mich.* (1975)
14. Whillier, A. : *Solar Energy*, 8, 1 (1964)
15. Whillier, A. and Saluja, G. : *Solar Energy*, 9, 1 (1965)
16. Löf, G. O. G., Duffie, J. A. and Smith, C. O. : *Solar Energy*, 10, (1966)
17. Chang, K. S. and Kim, M. S. : *J. KSAM.*, 2, 2 (1977)
18. Kim, S. R. : *J. KSAE.*, 6, 1 (1974)
19. Gupta, G. I. and Gary, H. : *Solar Energy*, 11, 1 (1967)
20. Morrison, D. W. and Shove, G. O. : Paper No. 77-3546. *ASAE. St. Joseph, Mich.*, (1973)
21. Robertson, K. E. and Mowry, G. R. : *Fourth Quarter Report, Dept. of Agr. Eng. Kansas Univ.* (1967)
22. Peterson, W. H. : Paper No. NC73-302, *Am. Soc. Agr. Eng., St. Joseph, Mich.* (1973)